

서울시 광화문 지역의 대기질 변동 특성의 추계학적 분석

한 흥·김 영 식*

서울대학교 보건대학원

*마립밀양전문대학 환경보호과

Stochastic Properties of Air Quality Variation in Seoul

Han Hong · Kim Young Sik*

Graduate School of Public Health Seoul National University

*Dept. of Environmental Protection Miryang National Junior College

ABSTRACT

The stochastic variance and structures of time series data on air quality were examined by employing the techniques of autocorrelation function, variance spectrum, fourier series, ARIMA model. Among the air quality properties of atmosphere, SO_2 is one of the most significant and widely measured parameters. In the study, the air quality data were included hourly observations on SO_2 , TSP and O_3 . The data were measured by automatic recording instrument installed in Kwanghwamoon during February and March in 1991. The results of study were as follows :

1. Hourly air quality series varied with the dominant 24 hour periodicity and the 12 hour periodic variation was also observed.
2. The correlation coefficients between SO_2 and O_3 is -0.4735 .
3. In simulating or forecasting variation in SO_2 ARIMA models are on a useful tools. The multiplicative seasonal ARIMA $(1, 1, 0)(0, 2, 1)_{24}$ model provided satisfactory results for hourly SO_2 time series.

I. 序 論

大氣質豫測模型은 物理的 模型(Physical model)과 數學的 模型(Mathematical model)으로 分類한다. 物理的 模型은 都市地域의 小規模風洞(Wind tunnel) 等이며, 數學的 模型은 大氣의 移動과 大氣污染物質의 化學的 反應을 數式化하여 記述한 記述的 模型(Descriptive model)과 過去의 大氣質에 關한 統計學的 分析을 基礎로 한 統計學的 模型(Statistical model) 等이다.^{1,2)}

大氣質은 水質과 같이 時間의 週期性을 나타내고 있으며, 傾向과 週期成分 외에도 說明할 수

없는 無作爲 成分(Random component)이 包含되어 있기 때문에 連續의 으로 測定된 大氣質의 時系列은 推計學的 現象으로 볼 수 있다.^{3,4)}

環境污染 物質變動에 대한 推計學的 分析은 氣象分野와 水文學 分野에서 懶用되고 있으며 世界的으로 1970年代 後半부터 많은 研究가 進行되어 왔다. Box와 Jenkins(1970)이 一般的으로 觀測되는 時系列을 獨立의 아닌 從屬의 時系列로 생각하고 母數(Parameter)의 數가 적고 간단한 推計學的 模型을 提示한 이래 經濟學, 工學 및 自然科學 等에 이 模型이 利用되고 있다.^{5,6)}

大氣污染에 대한 推計學的 分析으로 Box와 Tiao(1975)가 時系列 分析方法의 一種인 介入分

析法을導入하였다. 또한 이들은 Los Angeles 光化學 스모그의變動에 대하여推計學的分析을 實施하였다.^{7~9)}

Gleit(1985)는石炭 보일러에서排出되는 SO₂濃度의變動에 대하여 ARMA模型을利用하여推計學的인分析을試圖하였다.¹⁰⁾

國內에서의研究는金(1988)等이서울市一部地域(성수 및 오류지역)SO₂污染度의變動에關한自己相關分析 및月別 SO₂의時系列에ARIMA(1,0,0)(0,1,0)₁₂模型이適合한것으로나타났다.¹¹⁾金(1988)은서울市상문동地域의SO₂污染度의時別時系列에대한推計學的分析 및豫測을實施한結果ARIMA(0,1,1)(2,1,1)₂₄model이適合한것으로나타났다.¹¹⁾

本研究는서울市 광화문地域의SO₂, TSP 및 O₃濃度等과關聯된大氣質變動에 대하여分析하였으며연구의목적은다음과같다.

- 1) 大氣質의週期性 및變動의特性把握
- 2) 時別 SO₂에대한ARIMA模型의適用性檢討 및豫測

大氣質의推計學的研究를위한連續時系列의資料를求하기 어렵고資料의信賴性問題로因하여長期間의時系列資料를利用할수없는與件에있다. 그러므로時間間隔이1時間인離散型時系列을택하여分析에利用하였다.大氣質의週期性 및變動의特性把握을위하여Fourier級數,自己相關係數,Spectral analysis을利用하였으며時別SO₂濃度에 대하여觀測時系列自體를季節型ARIMA模型에適用하여模型을確立시키고4日間의豫測值을發生시켜實際觀測值와比較分析하였다.

II. 資料의 分析

Box와Jenkins는模型을評價 및豫測하는過程을(1)模型의判別(2)母數의推定(3)模型의檢定(4)豫測에대한algorithm을Fig. 1과같이提示하였으며,⁶⁾ARIMA模型의分析은統計package인SPSS/PC⁺Ver. 2.0을使用하였다.

III. 測定資料

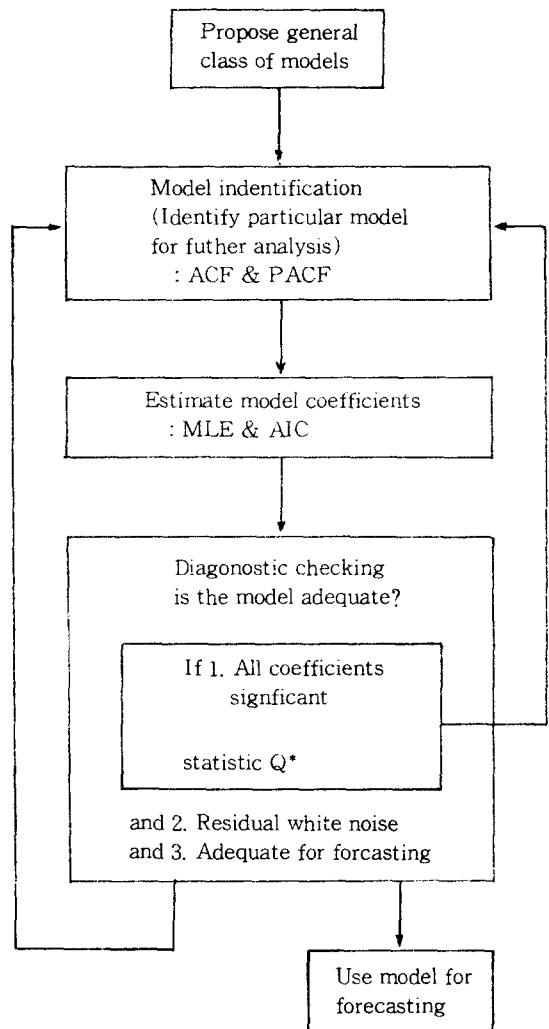


Fig. 1. Iterative approach to model building.

統計的解析에利用되는大氣質資料는外的影響이적은地域이妥當하다. 그러나이러한地域에서連續의資料를蒐集하는것은매우어렵다.本研究에利用한資料는環境處에서運營하는大氣自動測定裝置가設置된광화문地域의SO₂, TSP 및 O₃濃度의時別測定資料를利用하였으며測定期間은1991年2月4日~同年3月10日까지이다.¹²⁾

1. 測定地域의 狀況

서울市內에는大氣污染測定網이20個있으며

Table 1. Statistical properties of hourly data

Items	Unit	Max.	Min.	Mean	S. D.	Skewness	No. of data
SO ₂	ppm	0.357	0.012	0.060	0.051	2.259	840
TSP	μg/m ³	499	13	88.8	67.75	2.198	840
O ₃	ppm	0.032	0.000	0.006	0.008	1.065	840

서울市와 環境處가 각각 10個씩 管理하고 있다.

이 중 環境處에서 管理하고 있는 10個所 中 比較的 機器 故障 等으로 결측된 資料가 적은 곳이 광화문, 불광동, 문래동 地域이다. 광화문 地域의 自動 測定裝置의 可動率은 項目別로 差異가 있지 만 5% 以下이다.

광화문 地域의 1990年 年平均 SO₂ 濃度는 0.044 ppm으로 環境保全法에서 定한 基準值인 年平均濃度 0.05 ppm을 超過하지 않고 있다.

2. 資料의 定理

本 研究에 利用된 時間別 時系列에서 機器 故障 等으로 결측된 資料는 다음과 같이 補完하였다.

$$X_p \tau = X_p \tau_{-1} + (m_\tau - m_{\tau-1}) \quad \dots \quad (1)$$

여기서 $p = 1, 2, 3, \dots, n$: p 는 測定期間이 n 日인 p 番째 日

$\tau = 1, 2, 3, \dots, 24$ 는 1日 동안의 時間

m_τ : 日別 時系列의 總 資料數 $N = 24n$ 中 τ 의 平均值

$m_{\tau-1}$: 日別 時系列의 總 資料數 $N = 24n$ 中 $\tau-1$ 의 平均值

時間別 및 日別 時系列의 결측 資料 補完을 거친 各 時系列의 統計的 特性은 Table 1과 같다.

IV. 測定資料의 變動 特性 分析

1. 時間別 變動 特性 分析

大氣汚染物質 濃度의 時間別 變動 分析에는 Table 1에 提示한 광화문 地域의 測定資料를 利用하였다. 時間別 SO₂, TSP, O₃의 測定值間의 相關係數는 Table 2와 같다.

O₃과 SO₂ 濃度간의 相關係數 r 은 -0.4735로 逆相關 關係를 나타내고 있고 TSP와는 -0.1719로

Table 2. Correlation variables SO₂, TSP, O₃ with SO₂, TSP, O₃

Items	SO ₂	TSP	O ₃
SO ₂	1.0000*	0.5282*	-0.4735*
TSP		1.0000*	-0.1719*
O ₃			1.0000*

*有意水準 $P < 0.001$

서 역시 逆相關 關係를 나타내었다. 이 結果는 김(1988) 等이 서울地域의 오존濃度의 變動 및 影響因子에 관한 研究에서 제시한 O₃와 SO₂의 相關係數 -0.2331(한남동), -0.4453(쌍문동), TSP와는 -0.3266(구의동), -0.4538(방이동)로써 本分析과 類似함을 보이고 있다.¹³⁾ 그러므로 서울市 大氣中의 O₃濃度와 SO₂ 및 TSP는 逆相關性的 關係를 가지고 있다고 볼 수 있다.

SO₂와 TSP濃度간의 相關係數 r 은 0.5282로 正相關 關係를 나타내고 있는데 이 結果는 김(1986) 등이 밝힌 SO₂와 TSP의 相關係數 0.694(한남동) 와 類似함을 보이고 있다.¹⁴⁾ SO₂와 TSP 發生源이 주로 빌딩 및 家庭用으로 使用되는 重油나 石炭 등의 燃料 燃燒 및 交通量과의 關係에 起因한 때 문으로 볼 수 있다.

時系列 項目別로 어떠한 週期性을 가지면서 變動하는가를 把握하기 위하여 Spectrum分析 및 調和分析을 實施하였으며, Table 3은 時間別 週期와 Spectrum, 調和函數의 Fourier係數 및 說明分散을 나타내었다.

SO₂濃度는 2次 調和數까지의 說明 分散比가 20.4%로 상당히 낮은 說明比를 나타내고 있다. 또한 SO₂에 正相關 關係를 가진 TSP는 2次 調和函數에 대한 說明分散이 16.4%로 SO₂와 비슷한 說明分散을 가짐을 알 수 있다. 姜(1988) 및 姜(1989)等은 SO₂濃度의 變化는 排出源의 特性 및

Table 3. Period of hourly air quality and spectral density explained variance

Items	Period (Hr)	Vari- ance	Spectral density U_k	Fourier A_j	Coefficant B_j	$\cdot C_j$	$\cdot \theta_j$	Explained variance %
SO_2	24	0.003	0.813	-0.003	0.03	0.03	-1.47	15
	12	0.003	0.06	-0.01	-0.015	0.018	0.983	5.4
	8	0.003	0.015	0.008	-0.002	0.008	-0.245	1.1
TSP	24	4,590	227,991	-31.9	12.6	34.3	-0.376	12.8
	12	4,590	64,870	11.0	-14.6	18.3	-0.925	3.6
	8	4,590	16,168	-0.886	8.39	8.44	-1.466	0.8

* 진폭(Amplitude)

** 위상각(Phase angular)

排出量, 風速, 交通量 等의 影響을 받고 있다고 하였다.^{15,16)}

TSP 는 SO_2 濃度의 變化와 같은 形態를 띤다고 하였다.^{2,17)} 그러므로 SO_2 와 TSP 는 地球의 自轉 및 空轉 等의 自然 現象 보다도 人爲的인 要因에 影響을 많이 받고 있음을 알 수 있다.

設計된 Fourier 係數를 24時間 週期性 變動 狀態를 나타내는 SO_2 와 TSP 의 支配的인 週期 成分의 時系列은 다음과 같은 式으로 表示할 수 있다.

$$X_F SO_2 = 0.06 + 0.03 \cos \left\{ \frac{2\pi jt}{840} + 1.47 \right\} \dots (2)$$

$$X_F TSP = 88.8 + 34.3 \cos \left\{ \frac{2\pi jt}{840} + 0.376 \right\} \dots (3)$$

2. 時間別 SO_2 濃度에 대한 ARIMA(p, d, q) (P, D, Q)s 模型 및豫測

ARIMA 模型 設定에 利用된 資料는 840個의 時間別 資料로 調和分析를 通하여 調和函數 3次까지 考慮하여 週期性을 除去시킨 殘差 時系列 et 를 原時系列 Z_t 로 간주하여 季節型인 ARIMA(p, d, q) (P, D, Q)s 模型에 適用시켰다. Table 3에서 나타난 바와 같이 SO_2 의 週期는 24時間이 支配的임을 알 수 있었다. 그러므로 ARIMA 模型에 適用한 週期는 24時間은 基本 週期로 適用하였다. Box-Jenkins의 理論에 의하면 AR(1) 模型은 ACF가 指數 減少나 振動 減少를 나타내는 傾向이 있고 AR(2) 模型은 sine 形態의 減少를 한다고 하였다.

Fig. 2는 개차 (d, D)에 따른 ACF와 PACF를 圖示하였으며, $d=1, D=1, d=1, D=2$ 로 주어져 있을 境遇 $K=3, 5, 6, 7$ 에서 信賴限界를 超過하며 나머지 值들은 信賴區間內에 存在하므로 White noise에 가깝게 됨을 알 수 있다.

PACF는 時系列의 時間 遲滯에 의한 두 觀測值의 關係가 얼마나 密接한가를 나타내는 尺度이다. Fig. 2에서 $d=1, D=1$ 로 주어져 있을 境遇 $K=2$ 에 信賴限界를 超過하고 있다. 그러나 매우 돌출한 值을 볼 수 없으므로 순수한 AR로 判別하기는 어렵고, AR과 MA項의 混合된 模型으로 判別된다. $d=1, D=2$ 에서도 週期 傾向이 많이 減少되었음을 알 수 있다. 따라서 季節型 또는 非季節型 MA項을 包含된 것으로 判斷된다.^{18,19)}

ACF와 PACF를 通하여 다음과 같은 模型을 ARIMA(1, 1, 0) (0, 2, 1)₂₄, ARIMA(1, 1, 0) (0, 1, 1)₂₄, ARIMA(2, 1, 0) (0, 2, 1)₂₄로 設定하였다.

選擇된 母數를 $\Sigma a_t^2 (\phi_1, \phi_2, \Phi_1, \theta_1, \theta_2)$ 에 最小가 되도록 推定하였다. 母數의 自乘 合의 變化가 0.00001 以下로 減少되면 推定을 中斷하였다.¹⁸⁾

推定 結果 母數 및 Log likelihood, AIC 등의 結果 值를 Table 4에 나타났다.

Log likelihood의 值이 가장 적은 模型은 ARIMA(1, 1, 0) (0, 2, 1)₂₄ 模型이며 單純性 檢定과 AIC를 基準으로 하여 다른 模型과 比較하여 볼 때에도 가장 適合하게 나타났다.

殘差 成分에 대 한 獨立的인 確率 成分 與否에 대한 檢定인 Q* 檢定을 보면 세가지 模型이 모두 獨立的인 確率 成分으로 判定되었다. 이 중 ARI-

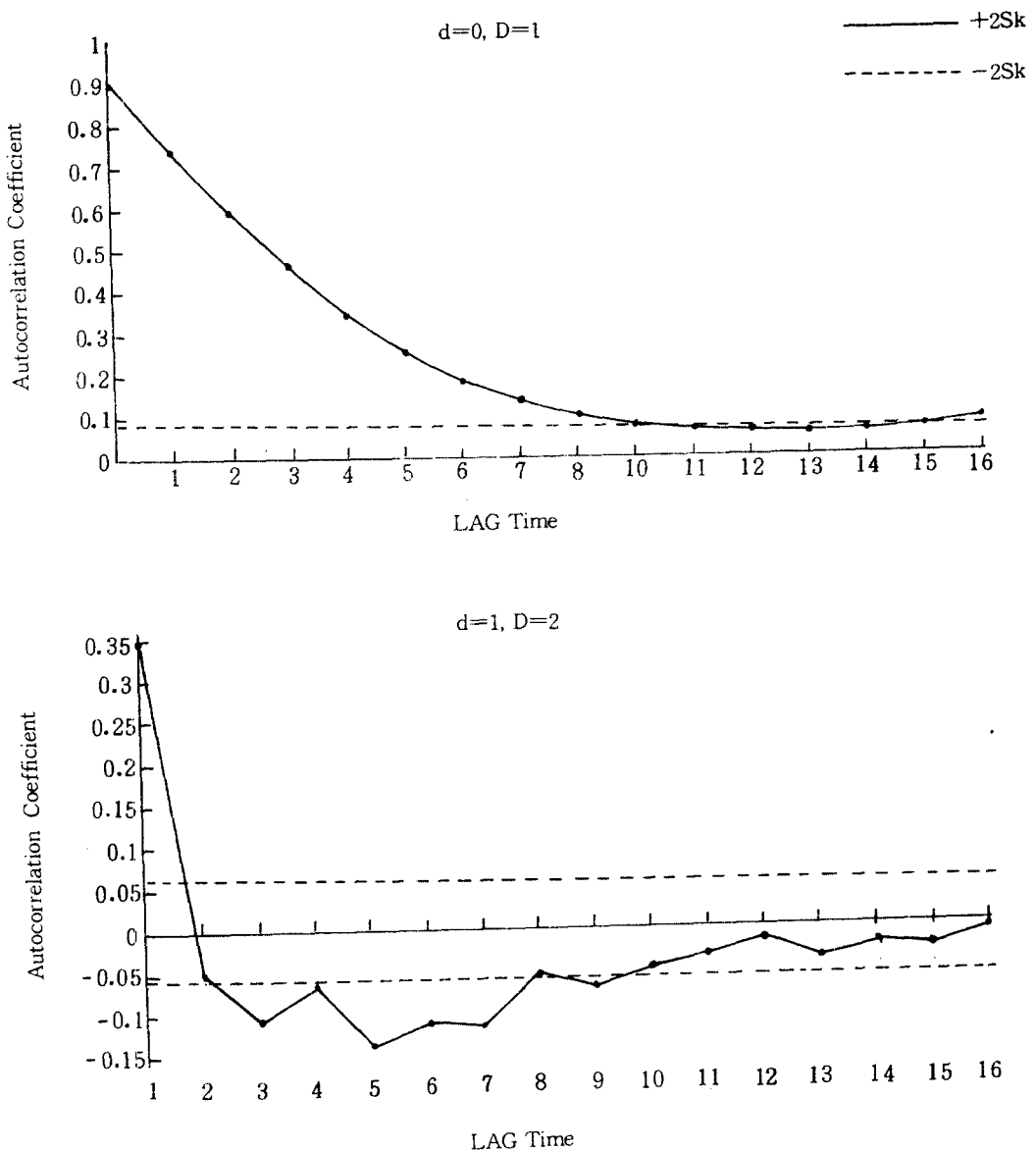


Fig. 2. Autocorrelation coefficients for hourly SO_2 .

MA(1, 1, 0) (0, 2, 1)₂₄ 模型이 檢定 統計量 Q^* 가 가장 大으로 나타났다.

서울市 光化門 地域의 時間別 SO_2 濃度에 대한 豫測은 1991年 2月 4日부터 同年 3月 10日까지 觀測 時系列을 基礎로 模型을 選定하여 4日간의 豫測을 實施하였다. Fig. 3은 ARIMA(1, 1, 0)

(0, 2, 1)₂₄ 模型을 이용한 豫測置이다.

豫測 結果 午前 10時를 基準으로 Peak치를 나 타내고 있는데 이는 Kilchenmann(1989) 등이 Baden-Wuerttemberg의 大氣污染 分析에서 SO_2 濃度는 交通量과 煖房燃料 使用 시기에 影響을 받는다고 밝힌 結果와 類似함을 알 수 있다.²¹⁾

Table 4. Parameter estimation of ARIMA (p, d, q) (P, D, Q)_s model

Parameters	Parameters					Vari- ance	Vari- ance reduction	AIC	Log likeli- hood	$-Q^*$	x_2
	ϕ_1	ϕ_2	Φ_1	θ_1	θ_2						
(1, 1, 0)											
	0.378	—	—	0.935	—	0.0009	70	3339	1672	23.15	25.8
(0, 2, 1)											
(1, 1, 0)											
	0.298	—	—	0.979	—	0.0004	86.7	4062	2035	24.67	33.47
(0, 1, 1)											
(2, 1, 0)											
	0.451	—0.189	—	0.935	—	0.0009	70	3363	1685	32.80	35.20
(0, 2, 1)											

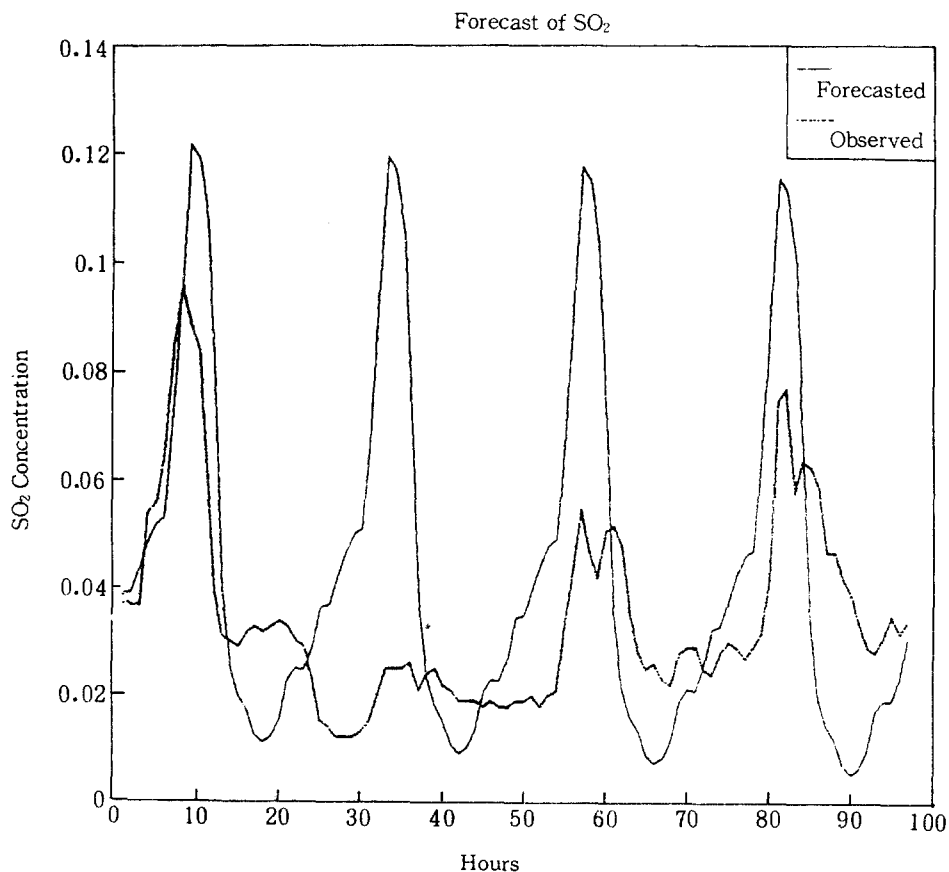


Fig. 3. Observed SO₂ and forecasted SO₂ using ARIMA(1, 1, 0) (0, 2, 1)₂₄.

V. 結 論

本研究는 大氣自動測定器로 测定된 광화문 地域의 1991年 2月 4日 부터 同年 3月 10日까지 連續測定된 SO_2 , TSP, O_3 에 대한 時系列을 分析하여 週期性과 變動 狀態를 究明하였다.

週期性과 變動 狀態에 대한 分析 技法으로는 調和分析, Sepctrum 分析, 自己相關分析 等의 技法을 使用하였고 推計學的 模型 分析에는 ARIMA (p, d, q) (P, D, Q)_s 模型을 適用시켰으며 그 結果는 다음과 같다.

1. 時間別 大氣質의 時系列은 주로 24時間의 週期와 12時間 週期로 變動하였다. 12時間 週期는 燃料 使用 時間과 交通量에 影響을 받은 것으로 判斷된다.

2. 時間別 SO_2 와 O_3 과의 相關係數는 -0.4735 로 서로 逆相關性을 나타내고 있으며, SO_2 와 TSP와의 相關係數는 0.5282 로 正相關 관계를 나타내고 있다.

3. 時間別 SO_2 時系列에서 自己相關函數와 偏自己相關函數를 移用하여 判別된 模型은 ARIMA(1, 1, 0) (0, 2, 1)₂₄, ARIMA(1, 1, 0) (0, 1, 2)₂₄, ARIMA(2, 1, 0) (0, 2, 1)₂₄이며, 이중 가장 適合한 것은 ARIMA(1, 1, 0) (0, 2, 1)₂₄이며, 이 중 가장 適合한 것은 ARIMA(1, 1, 0) (0, 2, 1)₂₄ 模型으로 分析되었다.

參 考 文 獻

- 1) 김종호 : 추계학적 모형을 응용한 SO_2 농도의 단기 예측에 관한 연구, 서울 시립대학교 대학원, 환경공학과, 석사학위논문, 1988.
- 2) 차철환, 노재식, 김영철, 김승환, 이영복, 윤명조, 이태희, 구연창 : 대기오염, 산업공해연구소, 서울, 420, 1981.
- 3) 이홍근 : 한강수질 하류부의 수질 변동에 대한 추계학적 특성, 서울대학교 대학원, 토목공학과, 박사학위논문, 1982.
- 4) 이준호 : ARIMA 모형을 이용한 한강의 DO 변동분석, 서울대학교 보건대학원, 환경보건학과, 석사학위논문, 1991.
- 5) Mabert, V. A., : An Introduction to Short Term Forecasting Using the Box-Jenkins Methodology, AIIE Production Planning and Control Division series, 2, 1975.
- 6) Box, G.E.P., Jenkins, G., : Time Series Analysis, Forecasting and Control, Holden-day, Sanfrancisco, Calif., 1976.
- 7) Tac, T. C., Delleur, J. W., : Seasonal and Nonseasonal ARMA Models in Hydrology, J. Hydraul. Eng. Div. ASCE, 102(HY10), 43~57, 1976.
- 8) Tiao, G. G., Box, G. E. P., Analysis of Los Angeles Photocchemical Smog Data : A Statistical Overview, JAPCA, 25(3), 1975.
- 9) Tiao, G. C., Box, G. E. P : A Statistical Analysis of the Los Angeles Ambient Carbon Monoxide Data, JAPCA, 1985~1972, 25(1), 1975.
- 10) Gleit, A., SO_2 Emissions and Time Series Model, JAPCA, 35(2), 1985.
- 11) 김광진, 이성훈, 정용 : ARIMA model에 의한 서울시 일부지역 SO_2 오염도의 월변화에 대한 시계열 분석, 한국대기보전학회지, 4(2), 77~81, 1988.
- 12) 환경처, 대기자동측정 자료, 1991.
- 13) 김민영, 강희곤, 이완종, 장봉훈, 박성배 : 서울 지역의 광화학 오염물질 농도 현황 및 기상인자의 영향에 관한 연구, 서울시 보건환경연구원소보, 24, 222~271, 1988.
- 14) 김민영, 박상현, 박성배 : 서울지역의 광화학 오염물질 농도 현황 및 기상인자의 영향에 관한 연구, 서울시 보건환경연구원소보, 22, 223~224, 1986.
- 15) 장인구, 김양균, 나진균, 이석조, 유승도, 김진규, 김정수, 박보현 : 대기오염 예측 모델 개발에 관한 연구(Ⅲ), 국립 환경연구원보, 10, 213~224, 1988.
- 16) 장인구, 김양균, 나진균, 이석조, 유승도, 김정수, 이재인, 박보현, 상영규 : 도시 지역 대기 질 개선에 관한 연구(I), 국립 환경 연구원보, NIER NO. 89-09-258, 86, 1989.

- 17) Seinfeld, J. H., Ozone Air Quality Models : A Critical Review, JAPCA, **38**(5), 1988.
- 18) Mehat, B. M., Ahlert, R. C., : Stochastic Variation of Water Quality of the Passaic River, Water Resour. Res., **11**(2), 300~308, 1975.
- 19) Hipel, K. W., McLeod, A. I., Lennox, W. C., Advances in Box-Jenkins Modeling 2 Application, Water Resource Reserach, **13**(3), 577~586, 1977.
- 20) Akaike, H., : A New Look at the Statistical Model Indentification, IEEE Trans. Autom. Control **19**(6), 716~723, 1974.
- 21) Kilchenmann, A., Henning, K., Gries, A., : Air pollution in Baden Wverttemberg, DE 89770188, **33**, 1989.